

# 硫酸化修饰对玄参多糖抗炎活性的影响

高丽娜，周利润，李曼曼，李姿锐，贾玲玉，王建安<sup>\*</sup>(济宁医学院药学院，山东 日照 276800)

**摘要：**目的 比较研究玄参多糖经硫酸化修饰前后其抗炎活性的变化及机制。方法 ♂ ICR 小鼠经腹腔注射脂多糖(lipopolysaccharide, LPS)建立急性炎症反应模型，分别给予玄参多糖和硫酸化玄参多糖进行药物干预，以阿司匹林作为阳性对照，运用 Real time RT-PCR 检测肝脏组织白介素-6(interleukin-6, IL-6)、白介素-1β(interleukin-1β, IL-1β)、单核细胞趋化蛋白-1(monocyte chemoattractant protein-1, MCP-1)和肿瘤坏死因子-α(tumor necrosis factor-α, TNF-α)的 mRNA 表达，运用 ELISA 检测血清中的 IL-6、IL-1β、MCP-1 和 TNF-α 的蛋白表达，运用 Western blotting 法检测肝脏组织中核因子 κB(nuclear factor-kappaB, NF-κB)、phospho-NF-κB 的表达水平。**结果** 硫酸化玄参多糖和玄参多糖均可显著抑制 LPS 诱导的 IL-6、IL-1β、MCP-1 和 TNF-α mRNA 和蛋白表达增加，玄参多糖经硫酸化修饰后，其抗炎活性显著增强，其作用机制可能与调控 NF-κB 信号转导通路活化有关。**结论** 硫酸化修饰可显著提高玄参多糖的抗炎活性，具有更好的应用前景，为玄参的开发利用提供了理论基础。

**关键词：**玄参；多糖；硫酸化多糖；细胞因子；NF-κB

中图分类号：R965.1 文献标志码：A 文章编号：1007-7693(2021)12-1431-05

DOI: 10.13748/j.cnki.issn1007-7693.2021.12.004

引用本文：高丽娜，周利润，李曼曼，等. 硫酸化修饰对玄参多糖抗炎活性的影响[J]. 中国现代应用药学，2021, 38(12): 1431-1435.

## Effects of Sulfation Modification on Anti-inflammatory Activity of Polysaccharides from Scrophulariae Radix

GAO Lina, ZHOU Lirun, LI Manman, LI Zirui, JIA Lingyu, WANG Jian'an<sup>\*</sup>(School of Pharmacy, Jining Medical University, Rizhao 276800, China)

**ABSTRACT: OBJECTIVE** To comparative study on the changes and mechanisms of anti-inflammatory activity of polysaccharide from Scrophulariae Radix before and after sulfation modification. **METHODS** The systemic inflammatory model was established by intraperitoneal injection of lipopolysaccharide(LPS) in male ICR mice. Then polysaccharides from Scrophulariae Radix and sulphated polysaccharides from Scrophulariae Radix were used for drug intervention and aspirin was used as a positive control. Real-time reverse transcription polymerase chain reaction(RT-PCR) was used to detect the mRNA expression of interleukin-6(IL-6), interleukin-1β(IL-1β), monocyte chemoattractant protein-1(MCP-1) and tumor necrosis factor-α(TNF-α) in liver tissue. The protein expression of IL-6, IL-1β, MCP-1 and TNF-α in serum was detected by ELISA. The level of nuclear factor-kappaB(NF-κB) and phospho-NF-κB in liver tissue was detected by Western blotting. **RESULTS** The results showed that both sulphated polysaccharides from Scrophulariae Radix and polysaccharides from Scrophulariae Radix significantly inhibited LPS-induced over-expression of IL-6 IL-1β, MCP-1 and TNF-α in both mRNA and protein levels. After sulfation modification, polysaccharides from Scrophulariae Radix exerted more significant anti-inflammatory activities and the mechanism might be associated with activation of NF-κB signaling pathway. **CONCLUSION** Sulfation modification of polysaccharides from Scrophulariae Radix can stronger anti-inflammatory efficacy and has better application prospects, which provides a theoretical basis for the development and application of Scrophulariae Radix.

**KEYWORDS:** Scrophulariae Radix; polysaccharide; sulfated polysaccharide; cytokines; NF-κB

玄参是玄参科 *Scrophulariaceae* 玄参属 *Scrophularia* 植物玄参 *Scrophularia ningpoensis* Hemsl.的干燥根，为滋阴降火之要药。现代研究发现玄参多糖在调控糖脂代谢、免疫功能、抗氧化、抗肿瘤、抗疲劳等方面具有潜在的应用价值<sup>[1-3]</sup>。

玄参多糖由半乳糖和葡萄糖等单糖组成，为中性多糖。前期研究中，课题组对玄参多糖的提取工艺进行了优化，并初步考察了玄参多糖的抗炎和抗氧化活性<sup>[4]</sup>，但关于玄参多糖结构修饰的研究仍未见报道。对多糖进行结构修饰是增强或产生新药理

基金项目：国家中医药管理局全国中药资源普查项目；中医药公共卫生服务补助专项全国中药资源普查项目；济宁医学院教师科研扶持基金(JY2017KJ047)；济宁医学院校级教育教学研究项目(18069)

作简者介：高丽娜，女，博士，副教授 Tel: (0633)2983695 E-mail: linagao228@126.com \*通信作者：王建安，男，硕士，教授 Tel: (0633)2983695 E-mail: anansen@163.com

活性的重要手段<sup>[5-6]</sup>，多糖的硫酸化修饰在提高抗炎、抗肿瘤、抗病毒、抗氧化、抗凝血活性等方面具有显著作用<sup>[7-9]</sup>。本实验采用氯磺酸-吡啶法制备硫酸化玄参多糖，建立脂多糖(lipopolysaccharide, LPS)诱导的小鼠急性炎症反应模型，对比研究玄参多糖经硫酸化修饰前后，其抗炎活性的变化，初步阐明硫酸化修饰对玄参多糖抗炎活性及其分子机制的影响。

## 1 材料

### 1.1 仪器

7500型全自动荧光定量PCR仪(美国ABI公司)；PCR-C1000逆转录仪(美国Bio-Rad公司)；MK3型酶标仪(美国Thermo Fisher Scientific公司)。

### 1.2 药品与试剂

所得干燥玄参切片由正规药材市场购买，济宁医学院药学院中药教研室付英杰副教授鉴定为玄参科Scrophulariaceae玄参属*Scrophularia*植物玄参*Scrophularia ningpoensis* Hemsl.根的切片。阿司匹林(Bayer公司，批号：BJ38317；规格：每片100mg，30片)。

BCA蛋白浓度测定试剂盒(北京索莱宝科技有限公司，批号：20181213)；白介素-6(interleukin-6, IL-6)ELISA试剂盒(批号：88-7046-22)；单核细胞趋化蛋白-1(monocyte chemoattractant protein-1, MCP-1) ELISA试剂盒(批号：BMS6005)均购自Invitrogen公司；肿瘤坏死因子- $\alpha$ (tumor necrosis factor- $\alpha$ , TNF- $\alpha$ ) ELISA试剂盒(批号：900-k54)、白介素-1 $\beta$ (interleukin-1 $\beta$ , IL-1 $\beta$ ) ELISA试剂盒(批号：BGK10749)均购自Peprotech公司；Improm-II逆转录试剂盒(Promega公司，批号：A3800)；UNIQ-10 Column Trizol总RNA提取试剂盒(批号：B511321)、细胞裂解试剂盒(批号：D612005)均购自生工生物工程股份有限公司； $\beta$ -actin小鼠源一抗(批号：3700)、NF- $\kappa$ Bp65兔源一抗(批号：8242)、Phospho-NF- $\kappa$ Bp65兔源一抗(Ser536，批号：3033)、抗兔二抗(批号：7074)、抗小鼠二抗(批号：7076)均购自Cell signaling technology公司；LPS(批号：L2630)、SYBR Green JumpStart TaqReadyMix试剂盒(批号：KCQS01)均购自Sigma-Aldrich公司。

### 1.3 动物

$\delta$ SPF级ICR小鼠，40只，体质量13~14g，购自济南朋悦实验动物繁育有限公司，动物生产许可证号：SCXK(鲁)20190003，饲养环境：饲养温度为(24±2)℃的室内，常规饲料，自由饮水进食，

适应性饲养1周后用于实验。

## 2 方法

### 2.1 玄参多糖及硫酸化玄参多糖制备

取玄参根切片，烘干后打粉，过10目筛，取200g干燥后的玄参粉末，加约6L水浸泡，微沸煎煮2h，煎煮液过滤，药渣再煎煮1次，合并滤液。将过滤后的提取液减压浓缩至一定体积，加4倍量无水乙醇混匀，静置过夜，弃去上清；沉淀加适量水溶解，过大孔树脂柱(DM-130)脱除色素，洗脱液减压浓缩，Sevage法脱除蛋白<sup>[10]</sup>；将脱除色素和蛋白的玄参多糖提取液浓缩，冷冻干燥，得玄参多糖粉末。采用氯磺酸-吡啶法制得硫酸化玄参多糖，经冷冻干燥得硫酸化玄参多糖粉末<sup>[11]</sup>。本实验所制硫酸化玄参多糖的得率为2.01%，取代度为1.22。

### 2.2 动物分组与处理

将40只 $\delta$ ICR小鼠随机分为5组(每组8只)：正常对照组、LPS组( $1\text{ mg}\cdot\text{kg}^{-1}$ )、阿司匹林组( $200\text{ mg}\cdot\text{kg}^{-1}$ )、玄参多糖组( $200\text{ mg}\cdot\text{kg}^{-1}$ )；硫酸化玄参多糖组( $200\text{ mg}\cdot\text{kg}^{-1}$ )。为与阿司匹林组作用效果进行比较，本实验所用玄参多糖和硫酸化玄参多糖浓度均为 $200\text{ mg}\cdot\text{kg}^{-1}$ ，不同组小鼠分别灌胃给予相应剂量的玄参多糖、硫酸化玄参多糖或阿司匹林4d(每天1次)，正常对照组和LPS组则给予同等剂量的生理盐水。末次灌胃给药30min后，腹腔注射LPS，诱导急性炎症反应。小鼠经腹腔注射LPS90min后，眼内眦取血，分离血清，于-20℃冰箱保存，备用；迅速分离小鼠肝脏组织并精确称量和记录，置于-80℃冰箱保存，备用。

### 2.3 小鼠肝脏组织中细胞因子的mRNA表达检测

取小鼠肝脏组织充分裂解后，按照UNIQ-10 Column Trizol试剂盒进行操作，提取组织中的总RNA<sup>[12]</sup>。使用逆转录试剂盒将总RNA逆转录合成cDNA。加入随机引物5 $\mu\text{L}$ ，样品5 $\mu\text{L}$ ，并在冰上混匀，在50℃下延伸15min，然后在80℃下放置5min使其高温变性，加入引物进行Real time RT-PCR反应，采用 $2^{-\Delta\Delta C_t}$ 法进行数据统计。 $\beta$ -actin为看家基因， $\beta$ -actin、IL-6、IL-1 $\beta$ 、MCP-1和TNF- $\alpha$ 的引物序列见表1。

### 2.4 小鼠血清中细胞因子的蛋白含量检测

取小鼠血清，按试剂盒说明书操作，测定各组血清中IL-6、IL-1 $\beta$ 、MCP-1和TNF- $\alpha$ 的蛋白含量。用于测定IL-6和IL-1 $\beta$ 的血清样本分别按1:150

表 1 Real-time RT-PCR 引物序列

Tab. 1 Real-time RT-PCR oligonucleotide primers

基因	引物	序列(5'-3')	PCR 产物/bp
β-actin	Forward	TGTTACCAACTGGGACGACA	165
(NM_007393.3)	Reverse	GGGGTGTGAAAGGTCTCAAA	
IL-6	Forward	TCCAGTTGCCTCTGGGAC	140
(NM_031168.1)	Reverse	GTGTAATTAAAGCCTCCGACTTG	
TNF-α	Forward	TAGCCAGGAGGGAGAACAGA	127
(NM_013693.2)	Reverse	TTTCTGGAGGGAGATGTGG	
MCP-1	Forward	CCCAATGAGTAGGCTGGAGA	125
(NM_0113333.3)	Reverse	TCTGGACCCATTCTTCTTG	
IL-1β	Forward	GACCTCCAGGATGAGGACA	183
(NM_008361.3)	Reverse	AGCTCATATGGGTCCGACAG	

稀释进行检测，MCP-1 和 TNF-α 的血清样本分别按 1:100 稀释进行检测。

## 2.5 Western blotting 分析

取小鼠肝脏组织，按照  $m:v=1:9$ ，加入相应体积的 RIPA 裂解液，超声破碎提取总蛋白，以 BCA 法进行蛋白定量。采用 SDS-PAGE 恒压电泳 (100 V, 90~120 min) 分离蛋白，湿转法将蛋白质转移到聚偏氟乙烯(PVDF)膜上(300 mA, 60 min)，用含 5% 脱脂奶粉的 PBST 室温封闭 2 h，加入一抗(NF-κB p65 和 phospho-NF-κB p65 稀释度为 1:1 000 或 β-actin 稀释度为 1:10 000)于 4 ℃ 摆育过夜。以 PBST(0.5% Tween-20)洗膜后，用辣根过氧化物酶标记的二抗(稀释度均为 1:10 000)室温孵育 1.5 h，PBST 润洗 5 次后，采用 ECL 发光试剂盒进行化学发光检测，采用 Image J 软件进行半定量分析，并进行磷酸化程度分析。

## 2.6 统计学分析

各组间实验数据采用单因素方差分析，数据分析结果以  $\bar{x} \pm s$  表示，2 组间比较采用 *t* 检验， $P < 0.05$  表示差异有统计学意义。

表 2 玄参多糖和硫酸化玄参多糖对 LPS 诱导小鼠肝脏组织炎性因子 mRNA 相对表达的影响

Tab. 2 Effects of sulfated and non-sulfated polysaccharide from Scrophulariae Radix on LPS-induced mRNA relative expression of proinflammatory cytokines in mice liver tissues

组别	TNF-α	IL-6	IL-1β	MCP-1
正常对照组	1.01±0.01	1.05±0.02	1.03±0.02	1.01±0.03
LPS 组	10.69±1.37 <sup>1)</sup>	9.57±1.04 <sup>1)</sup>	6.82±1.32 <sup>1)</sup>	9.86±0.65 <sup>1)</sup>
阿司匹林组	5.42±0.55 <sup>2,3)</sup>	3.79±0.56 <sup>2,3)</sup>	3.74±0.76 <sup>2,3)</sup>	6.67±0.48 <sup>2,3)</sup>
玄参多糖组	5.22±0.14 <sup>2,3)</sup>	5.17±0.70 <sup>2,3)</sup>	3.42±0.27 <sup>2,3)</sup>	4.93±0.26 <sup>2,3)</sup>
硫酸化玄参多糖组	3.99±0.41 <sup>2)</sup>	3.05±0.28 <sup>2)</sup>	2.16±0.22 <sup>2)</sup>	3.60±0.32 <sup>2)</sup>

注：与正常对照组比较，<sup>1)</sup> $P < 0.01$ ；与 LPS 组比较，<sup>2)</sup> $P < 0.01$ ；与硫酸化玄参多糖组比较，<sup>3)</sup> $P < 0.01$ 。

Note: Compared with normal control group, <sup>1)</sup> $P < 0.01$ ; compared with LPS group, <sup>2)</sup> $P < 0.01$ ; compared with sulfated polysaccharides from Scrophulariae Radix group, <sup>3)</sup> $P < 0.01$ .

## 3 结果

### 3.1 玄参多糖和硫酸化玄参多糖对 LPS 诱导小鼠肝脏组织中炎性因子的 mRNA 相对表达的影响

与正常对照组相比，LPS 组 IL-6、IL-1β、MCP-1 和 TNF-α mRNA 的表达明显升高( $P < 0.01$ )。与 LPS 组相比，阿司匹林、玄参多糖、硫酸化玄参多糖组小鼠肝脏组织中 IL-6、IL-1β、MCP-1 和 TNF-α mRNA 的表达显著降低( $P < 0.01$ )，且硫酸化玄参多糖较阿司匹林和玄参多糖的作用效果更为显著( $P < 0.01$ )。提示玄参多糖经硫酸化修饰后，其对 LPS 诱导的炎性因子 mRNA 相对表达的抑制作用更强。结果见表 2。

### 3.2 玄参多糖和硫酸化玄参多糖对 LPS 诱导小鼠血清中炎性因子的蛋白表达的影响

与正常对照组相比，LPS 可显著诱导 IL-6、IL-1β、MCP-1 和 TNF-α 的蛋白表达升高( $P < 0.01$ )。与 LPS 组比较，阿司匹林、玄参多糖、硫酸化玄参多糖组小鼠血清中 IL-6、IL-1β、MCP-1 和 TNF-α 的表达显著降低( $P < 0.01$ )。与玄参多糖组或阿司匹林组比较，硫酸化玄参多糖对小鼠血清中 IL-6、IL-1β 和 MCP-1 表达的抑制作用更为显著( $P < 0.01$ )。因此，在 LPS 诱导的急性炎症反应初期，硫酸化修饰显著提高了玄参多糖的抗炎活性。结果见表 3。

### 3.3 玄参多糖和硫酸化玄参多糖对 LPS 诱导小鼠肝脏组织中 NF-κB p65 和 phospho-NF-κB p65 表达水平的影响

与正常对照组比较，LPS 组小鼠肝脏组织中 NF-κB p65 和 phospho-NF-κB p65 的表达水平显著提高( $P < 0.01$ )。阿司匹林、玄参多糖和硫酸化玄参多糖干预组小鼠肝脏组织中 NF-κB p65 和 phospho-NF-κB p65 蛋白含量较 LPS 组显著降低( $P < 0.01$ )。以 phospho-NF-κB p65 与 NF-κB p65 灰度值比值考察 NF-κB p65 磷酸化程度变化，结果

表3 玄参多糖和硫酸化玄参多糖对 LPS 诱导小鼠血清中炎性因子蛋白表达的影响

Tab. 3 Effects of sulfated and non-sulfated polysaccharide from Scrophulariae Radix on LPS-induced protein expression of proinflammatory cytokines in mice serum

pg·mL<sup>-1</sup>

组别	TNF-α	IL-6	IL-1β	MCP-1
正常对照组	4.75±0.65	24.05±2.51	71.03±1.69	20.30±1.23
LPS 组	430.45±50.07 <sup>1)</sup>	13 632.82±309.03 <sup>1)</sup>	13 739.12±230.32 <sup>1)</sup>	2 222.05±298.43 <sup>1)</sup>
阿司匹林组	362.33±43.71 <sup>2,3)</sup>	5 939.86±131.21 <sup>2,3)</sup>	583.30±33.23 <sup>2,3)</sup>	493.04±32.54 <sup>2,3)</sup>
玄参多糖组	26.55±10.69 <sup>2)</sup>	5 892.93±125.53 <sup>2,3)</sup>	546.19±25.61 <sup>2,3)</sup>	483.12±34.20 <sup>2,3)</sup>
硫酸化玄参多糖组	31.91±8.11 <sup>2)</sup>	5 059.59±182.43 <sup>2)</sup>	314.86±25.90 <sup>2)</sup>	173.71±22.20 <sup>2)</sup>

注: 与正常对照组比较, <sup>1)</sup>P<0.01; 与 LPS 组比较, <sup>2)</sup>P<0.01; 与硫酸化玄参多糖组比较, <sup>3)</sup>P<0.01。

Note: Compared with normal control group, <sup>1)</sup>P<0.01; compared with LPS group, <sup>2)</sup>P<0.01; compared with sulfated polysaccharides from Scrophulariae Radix group, <sup>3)</sup>P<0.01.

显示 LPS 可显著激活 NF-κB p65 磷酸化( $P<0.01$ ), 而阿司匹林、玄参多糖及硫酸化玄参多糖均可不同程度地抑制 NF-κB p65 磷酸化( $P<0.01$ ), 说明玄参多糖和硫酸化玄参多糖可能通过抑制 NF-κB 信号通路激活减少细胞因子释放, 发挥抗炎作用。与玄参多糖组(1.51±0.020)比较, 硫酸化玄参多糖(1.50±0.054)对 NF-κB p65 磷酸化的抑制作用更强, 但无统计学差异。结果见图 1 和表 4。

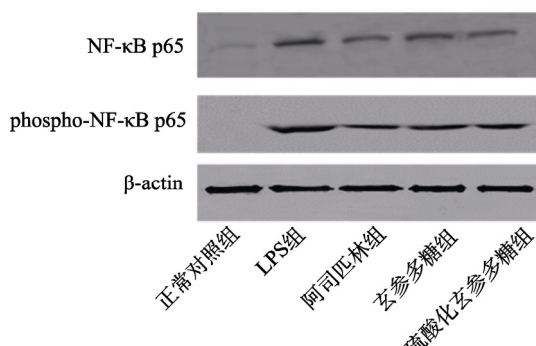


图1 玄参多糖和硫酸化玄参多糖对 LPS 诱导小鼠肝脏组织中 NF-κB p65、phospho-NF-κB p65 表达水平的影响  
Fig. 1 Effects of sulfated and non-sulfated polysaccharide from Scrophulariae Radix on LPS-induced NF-κB p65 and phospho-NF-κB p65 levels in mice liver tissues

表4 玄参多糖和硫酸化玄参多糖对 LPS 诱导小鼠肝脏组织中 NF-κB p65 和 phospho-NF-κB p65 相对表达量分析(相对于 β-actin)

Tab. 4 Relative expression volume analysis of sulfated and non-sulfated polysaccharide from Scrophulariae Radix on LPS-induced of NF-κB p65 and phospho-NF-κB in mice live tissues(relative to β-actin)

组别	NF-κB p65	phospho-NF-κB p65	phospho-NF-κB p65/NF-κB p65
正常对照组	0.15±0.003 0	0.077±0.011	0.52±0.006 6
LPS 组	0.59±0.003 2 <sup>1)</sup>	1.15±0.019 <sup>1)</sup>	1.95±0.022 <sup>1)</sup>
阿司匹林组	0.34±0.003 9 <sup>2)</sup>	0.54±0.017 <sup>2)</sup>	1.58±0.032 <sup>2)</sup>
玄参多糖组	0.43±0.007 9 <sup>2)</sup>	0.64±0.020 <sup>2)</sup>	1.51±0.020 <sup>2)</sup>
硫酸化玄参多糖组	0.37±0.000 35 <sup>2)</sup>	0.58±0.021 <sup>2)</sup>	1.50±0.054 <sup>2)</sup>

注: 与正常对照组比较, <sup>1)</sup>P<0.01; 与 LPS 组比较, <sup>2)</sup>P<0.01。

Note: Compared with normal control group, <sup>1)</sup>P<0.01; compared with LPS group, <sup>2)</sup>P<0.01.

#### 4 讨论

玄参多糖为玄参的主要成分之一, 具有抗氧化、抗疲劳、调节糖脂代谢等作用<sup>[1-3]</sup>。对多糖主链、支链等结构进行修饰, 可改变其生物活性。多糖结构修饰方法主要包括乙酰化、硫酸化、羧甲基化等<sup>[13-15]</sup>。硫酸化修饰是指在多糖的羟基结构引入硫酸基团, 使其立体构象发生变化, 进而提高或产生新的药理活性。玄参多糖的硫酸化修饰未见报道, 本实验首次研究硫酸化修饰对玄参多糖抗炎活性的影响。

LPS 是典型的炎症反应诱导剂, 炎症状态下细胞会释放多种促炎因子, 细胞因子 IL-6、TNF-α、IL-2、IL-1β 和趋化因子(如 MCP-1)等可激活 NF-κB 诱发炎症级联反应, 同时, NF-κB 通过复杂的分子网络调控多种炎性基因的表达<sup>[16]</sup>。本研究主要基于 LPS 诱导的急性炎症损伤模型, 评价玄参多糖修饰前后对 IL-6、IL-1β、MCP-1 和 TNF-α mRNA 和蛋白表达的影响, 可初步了解硫酸化玄参多糖对急性期炎症反应的调控作用。结果显示玄参多糖经硫酸化修饰后对 LPS 诱导的急性期 TNF-α、IL-6、IL-1β 和 MCP-1 的 mRNA 和蛋白表达的抑

制作用更为显著，其作用机制与调控 NF-κB 信号通路激活有关。

在本研究设定的实验条件下，玄参多糖经硫酸化修饰后，其抗炎活性显著增强。但在分子机制方面，硫酸化修饰前后玄参多糖对 NF-κB p65 的磷酸化程度未见统计学差异，这可能与药物的实验浓度以及作用时间有关。此外，玄参多糖硫酸化修饰程度与其抗炎活性的相关性有待进一步研究，例如，考察不同硫酸化程度对其抗炎活性的影响，探讨不同炎性损伤模型(急性、亚急性、慢性)中硫酸化修饰对多糖抗炎活性的影响，为进一步揭示玄参多糖结构与生物活性之间的关系提供理论依据。

综上所述，玄参多糖经硫酸化修饰后可显著抑制 LPS 诱导的急性期炎性因子的表达水平升高，其作用机制可能与 NF-κB 信号通路活化有关。为进一步阐明硫酸化玄参多糖的抗炎作用机制，需明确其发挥作用的结构单元以及结构修饰产生的构效关系，为指导玄参的临床应用提供理论依据。

## REFERENCES

- [1] LI Z H, ZHANG N, DONG W R, et al. Effect of polysaccharides of *Radix Scrophulariae* on immune functions in mice under normal physiological and hypoimmunical state [J]. *China Pharm(中国药房)*, 2017, 28(10): 1316-1319.
- [2] ZHAO H W, ZHANG N, LI Z H, et al. The effect of polysaccharides from *Radix Scrophulariae* on type 2 diabetes rats[J]. *Inf Tradit Chin Med(中医药信息)*, 2017, 34(5): 8-12.
- [3] ZHENG Y Y, WANG J, JIANG J P, et al. Effects of polysaccharides from *Scrophulariae Radix* on glucolipid metabolism and hepatic insulin signaling pathway in type 2 diabetic rats[J]. *Chin Tradit Herb Drugs(中草药)*, 2020, 51(6): 1586-1592.
- [4] WANG J N, HUANG L F, REN Q, et al. Polysaccharides of *Scrophularia ningpoensis* Hemsl. : Extraction, antioxidant, and anti-inflammatory evaluation[J]. *Evid Based Complement Alternat Med*, 2020: 8899762. Doi: 10.1155/2020/8899762.
- [5] SONG J X, REN T, WANG H, et al. Sulfated modification and DPPH free radical scavenging ability of polysaccharide from *Rhodiola sachalinensis*[J]. *Chin Tradit Herbal Drugs(中草药)*, 2017(24): 5125-5129.
- [6] ZHANG K, ZHANG Y, WANG L H, et al. Study on sulfated modification and anti-psoriasis activity of polysaccharide from *Dictamnus dasycarpus*[J]. *China Pharm(中国药房)*, 2019, 30(8): 1049-1056.
- [7] HUANG L X, SHEN M Y, MORRIS G A, et al. Sulfated polysaccharides: Immunomodulation and signaling mechanisms[J]. *Trends Food Sci Technol*, 2019(92): 1-11.
- [8] WANG Z J, XIE J H, SHEN M Y, et al. Sulfated modification of polysaccharides: Synthesis, characterization and bioactivities[J]. *Trends Food Sci Technol*, 2018(74): 147-157.
- [9] HUO Y F, WANG H L, WEI E H, et al. Two new compounds from the roots of *Scrophularia ningpoensis* and their anti-inflammatory activities[J]. *J Asian Nat Prod Res*, 2019, 21(11): 1083-1089.
- [10] DONG H, BAO Y Q, HAN P H, et al. Optimization of sulfated modification conditions of polysaccharide from White Ginseng [J]. *J Jilin Med Univ(吉林医药学院学报)*, 2018, 39(6): 430-432.
- [11] CHEN L, HUANG G L. Antioxidant activities of sulfated pumpkin polysaccharides[J]. *Int J Biol Macromol*, 2019(126): 743-746.
- [12] WANG Q S, GAO L N, ZHU X N, et al. Co-delivery of glycyrrhizin and doxorubicin by alginate nanogel particles attenuates the activation of macrophage and enhances the therapeutic efficacy for hepatocellular carcinoma[J]. *Theranostics*, 2019, 9(21): 6239-6255.
- [13] XU Y, WU Y J, SUN P L, et al. Chemically modified polysaccharides: Synthesis, characterization, structure activity relationships of action[J]. *Int J Biol Macromol*, 2019(132): 970-977.
- [14] XIE L M, SHEN M Y, HONG Y Z, et al. Chemical modifications of polysaccharides and their anti-tumor activities [J]. *Carbohydr Polym*, 2020(229): 115436. Doi: 10.1016/j.carbpol.2019.115436.
- [15] YANG Y X, CHEN J L, LEI L, et al. Acetylation of polysaccharide from *Morchella angusticeps* peck enhances its immune activation and anti-inflammatory activities in macrophage RAW264. 7 cells[J]. *Food Chem Toxicol*, 2019(125): 38-45.
- [16] ZHANG Q, LENARDO M J, BALTIMORE D. 30 years of NF-κB: A blossoming of relevance to human pathobiology[J]. *Cell*, 2017, 168(1/2): 37-57.

收稿日期：2021-01-14  
(本文责编：陈怡心)